Bulletin de la Société entomologique de France, **125** (4), 2020 : 353-366. ISSN 0037-928X
https://doi.org/10.32475/bsef_2087 eISSN 2540-2641

Nouveaux *Reduvius* Fabricius, 1775, de la péninsule Arabique et du Pakistan, et synonymies nouvelles (Hemiptera, Reduviidae, Reduviinae)

Pierre Moulet

Muséum Requien, 67 rue Joseph-Vernet, F – 84000 Avignon <pierre.moulet@wanadoo.fr>

http://zoobank.org/3245F459-6C9C-428D-B70D-AE6E763C14B5

(Accepté le 8.X.2020 ; publié le 10.XII.2020)

Résumé. – Trois nouvelles espèces sont décrites, *Reduvius pulcher* n. sp. du Yémen, *R. fragilis* n. sp. des Émirats Arabes Unis et *R. amabilis* n. sp. du Pakistan, ainsi qu'un individu brachyptère de *R. varipes* Linnavuori, 1964. Les synonymies suivantes sont établies : *Reduvius infirmus* Miller, 1956, n. syn. de *Reduvius osiris* Kirkaldy, 1909, et *Reduvius thesigeri* Miller, 1956, n. syn. de *Reduvius osiris* Kirkaldy, 1909. Les holotypes de *R. thesigeri* et *R. insularis* Linnavuori, 1964, sont redécrits.

Abstract. – **New *Reduvius* Fabricius, 1775, from Arabic Peninsula and Pakistan, and new synonymies (Hemiptera, Reduviidae, Reduviinae)**. Three new species are described: *Reduvius pulcher* n. sp. from Yemen, *R. fragilis* n sp. from United Arab Emirates, *R. amabilis* n. sp. from Pakistan, and one brachypterous specimen of *R. varipes* Linnavuori, 1964. The following new synomynies are proposed: *Reduvius infirmus* Miller, 1956, n. syn. of *Reduvius osiris* Kirkaldy, 1909, and *Reduvius thesigeri* Miller, 1956, n. syn. of *Reduvius osiris* Kirkaldy, 1909. The holotypes of *R. thesigeri* and *R. insularis* Linnavuori, 1964, are redescribed.

Keywords. – Taxonomy, morphology, redescription, new synonymies.

Les *Reduvius* Fabricius, 1775, objets de cette note appartiennent au groupe d'espèces nommé "*pallipes*-group" par Miller (1956)[1], et qui comprend notamment *R. pallipes* Klug, 1830, *R. tabidus* Klug, 1830, *R. jakovlevi* Reuter 1892, *R. komarovii* (Jakovlev, 1885), ainsi qu'aux "*minutus*-group" et "*testaceus*-group" du même auteur. Ces espèces se distinguent des *Reduvius* sombres [*R. personatus* (Linné, 1758), *R. fedtschenkianus* (Oshanin, 1870), *R. tarsatus* Germar, 1837…] et des *Reduvius* clairs [*R. elegans* (Jakovlev, 1885)*, R. disciger* Horváth, 1896…] par leur livrée bicolore blanche et noire.

Il s'agit d'espèces très voisines par leur habitus et leur coloration (fig. 11, 46-56), qui ont en commun tête, pronotum, scutellum (moins l'apex jaune blanchâtre) et pleures thoraciques foncés (noirs, noirâtres, brun foncé), parfois lobe postérieur du pronotum légèrement plus clair que l'antérieur ou (*R. pulcher* ci-dessous) lobe antérieur clair. Antennes, pattes et abdomen pâles (jaune pâle à jaunâtre) diversement variés de brun foncé noirâtre. Hémélytres clairs ; clavus assombri (au moins partiellement), corie ornée d'une bande transversale sombre plus ou moins large située sous l'apex des clavus, membrane grisâtre avec une tache claire (blanche ou blanchâtre) de chaque côté sous l'apex de la corie et une autre au sommet. Apex des tibias quelquefois (mais rarement) légèrement rembruni ; connexivum généralement unicolore (clair), parfois bicolore (sombre sur la moitié antérieure des segments, clair sur la postérieure) ; abdomen parfois caréné médio-longitudinalement, rarement entièrement sombre sauf une bande médio-longitudinale. Pilosité très variable mais jamais très longue sur le corps à l'inverse des membres du "*minutus*-group".

[1] Le mot groupe employé rapproche des espèces convergentes par l'habitus et n'implique aucune relation phylétique.

La majorité des espèces peut être identifiée par l'examen des genitalia mâles, mais quelquefois de très grandes ressemblances existent à ce niveau, posant des problèmes d'identification.

Les *Reduvius* à livrée blanche et noire se rencontrent depuis l'Europe du Sud mais surtout l'Europe orientale jusqu'en Asie centrale, le Caucase, le Proche-Orient, la péninsule Arabique, le sous-continent indien et l'Afrique. Les espèces africaines ne sont pas envisagées dans le présent travail.

L'étude de diverses collections institutionnelles ou privées m'a permis de déceler plusieurs espèces inédites, et m'amène à redécrire plusieurs types et à représenter plus précisément leurs genitalia mâles.

MATÉRIEL ET MÉTHODES

Toutes les mesures sont données en millimètres.

Les descriptions morphologiques suivent la terminologie de PUTSHKOV & MOULET (2009).

Abréviations. – **bl**, étiquette blanche ; **vert**, étiquette verte ; **rouge**, étiquette rouge ; **impr**, imprimé ; **ms**, manuscrit.

Collections étudiées. – **coll. Streito**, collection privée Jean-Claude Streito (Montpellier) ; **MNHN**, Muséum national d'Histoire naturelle (Paris) ; **NHM**, The Natural History Museum (Londres) ; **NHRS**, Naturhistoriska Riksmuseet (Stockholm) ; **NMPC**, National Museum (Prague) ; **NMWC**, National Museum of Wales (Cardiff) ; **ZMHB**, Zoologisches Museum, Humboldt Universität (Berlin).

TAXONOMIE

Reduvius amabilis n. sp. (fig. 1-7, 46)

http://zoobank.org/822E1F67-4D20-4D95-9419-628C28430803

HOLOTYPE : ♂, "Pakistan, Sheikh Birkio village, Sind, 18.vii.2016, *Z. Ahmeleg* [bl, ms] / 13 [bl, impr] / Holotypus, *Reduvius amabilis* n. sp., P. Moulet det. 2019 [rouge, ms]" (Muséum Requien, Avignon).

Mesures. – Longueur totale : 13,37 ; longueur de la tête : 1,80 ; diatone : 1,27 ; longueur des articles antennaires : I = 0,98 ; II = 2,90 ; III = 1,74 ; IV = 2,32 ; longueur du pronotum : 2,12 ; longueur du lobe antérieur du pronotum : 0,95 ; longueur du lobe postérieur du pronotum : 1,22 ; largeur du pronotum aux angles antérieurs : 1,01 ; largeur du pronotum aux angles postérieurs : 2,61 ; longueur du scutellum : 1,59 ; longueur des protibias : 2,70 ; longueur de la pelote tibiale : 0,90 ; longueur des métatibias : 5,22 ; longueur des hémélytres : 8,92.

Description (fig. 46). – *Tête* noire, chagrinée, des soies dorées longues sur les joues, le clypéus et le cou, plus courtes entre les yeux ; saillies inter-antennaires à peine éclaircies au sommet ; sillon inter-oculaire à peine marqué ; espace inter-oculaire pourvu de soies dorées courtes et de quelques-unes plus longues. Yeux globuleux, volumineux dépassant nettement la tête latéralement, contigus en dessous, pourvus de longues soies dorées surtout dans leur partie postérieure. Ocelles grands, sur un fort tubercule. Articles I et II des antennes jaunes ; les III et IV brunâtres à grisâtres. Article I faiblement et régulièrement élargi de la base au sommet, II longuement cylindrique, III et IV filiformes. Des soies courtes (inférieures ou égales au diamètre de l'article considéré) raides et semi-dressées, et des soies beaucoup plus longues (environ 3,5-4 fois comme le diamètre de l'article II), presque perpendiculaires à l'axe de l'article, les soies des articles III et IV moins dressées. Rostre beige.

Pronotum brun noirâtre, le tiers postérieur du lobe postérieur (y compris les angles postérieurs) très légèrement éclairci. Marge antérieure différenciée en bourrelet fin ; angles antérieurs courts, mousses et dirigés vers l'avant. Sillon transversal assez nettement marqué. Lobe antérieur très finement chagriné, côtes imperceptibles, l'interne et la médiane en bande à peine élevée au-dessus du disque ; les internes se poursuivant en s'affaiblissant sur le lobe postérieur ; sillon médio-longitudinal net mais peu profond sauf en arrière où il finit en fossette. Lobe postérieur strié transversalement, le tiers postérieur lisse ou très faiblement chagriné. Angles postérieurs mousses dépassant peu les cories latéralement. Des soies longues et dressées surtout sur les côtés des deux lobes, plus courtes et plus rares sur le disque.

Scutellum noir, caréné latéralement, disque déprimé et strié, apex long, jaune, aigu et dressé à environ 45°, de longues soies dorées surtout sur les côtés et l'apex.

Corie blanchâtre, une bande transversale brunâtre sous l'angle interne de la membrane réunie à une grande tache sombre sur les cellules de la membrane. Clavus et cories assombries au sommet. De longues soies dorées sur les nervures notamment la cubitale. Membrane blanchâtre dépassant l'apex de l'abdomen.

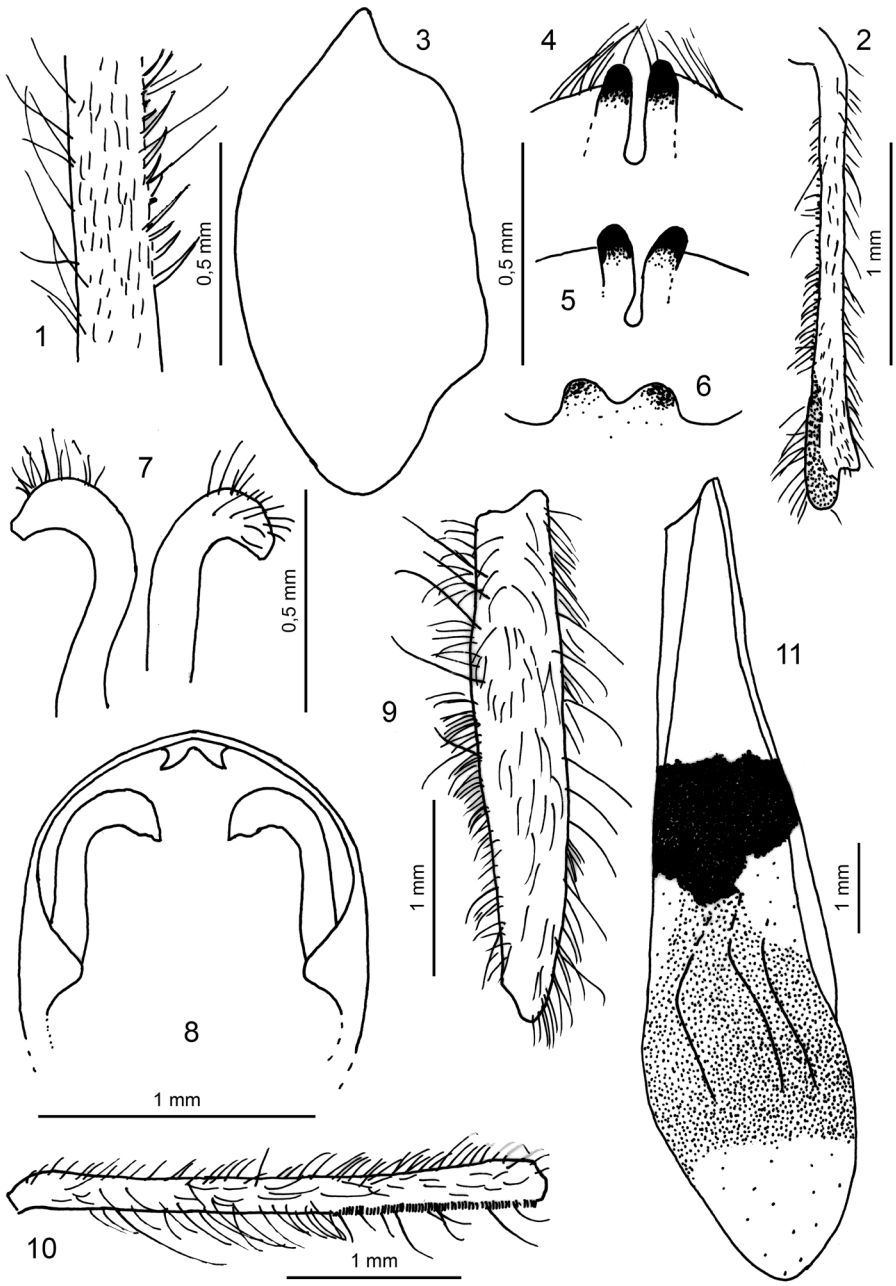

Fig. 1-11. – *Reduvius spp*. – **1-7**, *R. amabilis* n. sp. : **1**, protibia, partie médiane ; **2**, protibia ; **3**, pygophore, vue latérale ; **4-6**, apophyse du pygophore sous divers angles ; **7**, paramère. – **8**, *R. pallipes* Klug, pygophore, vue dorsale. – **9-11**, *R. fragilis* n. sp. : **9**, profémur ; **10**, protibia ; **11**, hémélytre.

Connexivum jaunâtre immaculé.

Pattes jaune blanchâtre pourvues de longues soies dorées molles, celles des métatibias 3-5 fois plus longues que le diamètre de l'appendice. Pro- et mésofémurs garnis de soies raides, spiniformes en dessous. Face inférieure des protibias avec de petits tubercules noirâtres. Pelotes tibiales bien développées, atteignant 0,27 fois la longueur du protibia (fig. 2). Tarses à 3 articles, le I toujours le plus court, celui des protarses extrêmement réduit.

Face ventrale carénée depuis le bord antérieur du mésosternum jusqu'au milieu du sternite VII. Prosternum noirâtre sauf les cavités coxales jaunes ; méso- et métasternum beiges ; mésopleures noirâtres, métapleures beiges. Abdomen jaune blanchâtre, les trois derniers sternites rembrunis (s'assombrissant de plus en plus vers l'extrémité anale).

Pygophore (fig. 3) jaune blanchâtre, bord postérieur différencié en deux apophyses médianes arrondies au sommet et séparées par une profonde scissure (fig. 4-6). Paramères : fig. 7.

Femelle inconnue.

Derivatio nominis. – Du latin *amabilis* (*-is*, *-e*) : aimable, agréable, sympathique.

Discussion. – Cette espèce se distingue aisément de tous les *Reduvius* bicolores par la longue pilosité de la tête, thorax, scutellum et nervures de la corie ; pelote tibiale 0,27 fois aussi longue que le protibia. La marge postérieure du pygophore, différenciée en lamelles spatulées médianes, est tout à fait singulière (fig. 4-6) ; elle se rapproche de celle de *R. pallipes* qui consiste en une lamelle bifide, aiguë à l'apex (fig. 8).

***Reduvius fragilis* n. sp.** (fig. 9-14, 47-48)

http://zoobank.org/4ED5C916-4A59-4520-A3E3-67E45257536E

HOLOTYPE : ♂, "United Arab Emirates, Sharjah x Khor Kalba, near tunnel, 28.iii-5. iv.2006, light trap, *leg A. van Harten* (11546) [bl, impr.] / Collectio, National Museum, Praha Czech Republic [bl, impr.] / Holotypus, *Reduvius fragilis* n. sp., P. Moulet det 2018 [rouge, ms]" (NMPC).

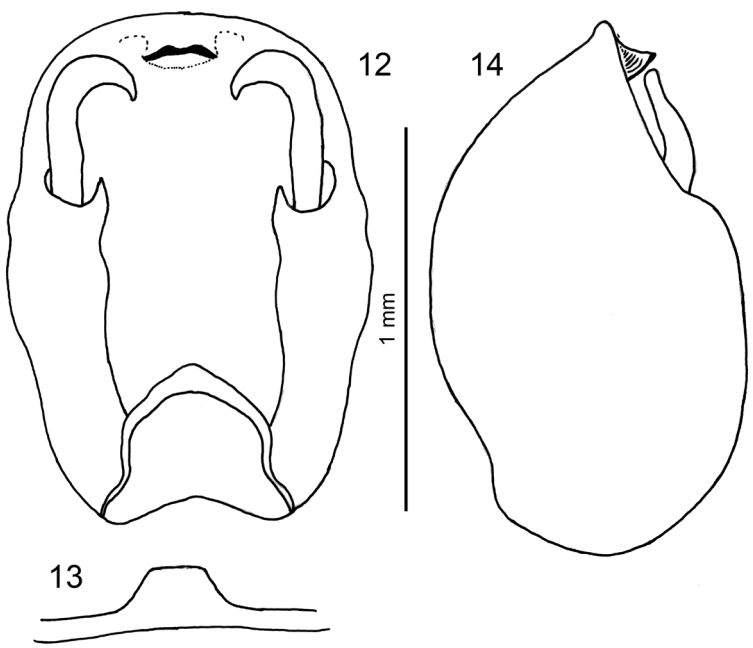

Fig. 12-14. – *Reduvius fragilis* n. sp. – **12**, Pygophore, vue dorsale. – **13**, Apophyse du pygophore. – **14**, Pygophore, vue latérale.

Allotype : ♀, "UAE. Wadi Safad, 14-21.5.2006, *A. van Harten* [bl, impr.] / Allotypus, *Reduvius fragilis* n. sp., P. Moulet det. 2018 [rouge, ms]" (NMPC).

Mesures (holotype – allotype). – Longueur totale : 11,90 – 11,87 ; longueur de la tête : 1,45 – 1,64 ; diatone : 1,16 – 1,04 ; longueur des articles antennaires : I = 1,30 – 1,10 ; II = 2,32 – 2,20 ; III = 3,20 (incomplet ?) – 3,74 ; IV = absent – 2,56 ; longueur du pronotum : 1,74 – 1,65 ; longueur du lobe antérieur du pronotum : 0,65 – 0,57 ; longueur du lobe postérieur du pronotum : 1,01 – 0,92 ; largeur du pronotum aux angles antérieurs : 0,87 – 0,92 ; largeur du pronotum aux angles postérieurs : 2,17 – 2,02 ; longueur du scutellum : 1,53 – 1,38 ; longueur des protibias : 3,29 – 2,75 ; longueur de la pelote tibiale : 1,41 – 1,16 : longueur des métatibias : 5,77 – 4,93 ; longueur des hémélytres : 9,10 – 7,73. Soies des métatibias 3,3-5,0 fois comme le diamètre de l'appendice. Pelote tibiale 0,42 fois la longueur du protibia dans les deux sexes.

Description (fig. 47-48). – Coloration générale typique des *Reduvius* à livrée bicolore ; forme svelte.

Tête noire, partie médiane (yeux inclus) globuleuse ; apophyses inter-antennaires fortes et très rapprochées l'une de l'autre ; ligne médiane en arrière des apophyses creusée en dépression large, chagrinée au fond et à bords striés ; des soies dorées plus ou moins longues, nombreuses surtout sur les apophyses ; joues longues, noires, pourvues de longues soies dorées ; clypéus aussi long que les joues. Lobes de la tête séparés par un fort sillon transversal. Lobe postérieur étroit, pas ou à peine plus élevé que l'antérieur, de longues soies dorées. Yeux réniformes très volumineux, non globuleux, pourvus de rares soies longues, réunis sur la gorge. Ocelles forts, cernés d'une auréole pâle. Article I des antennes long, beige jaunâtre, régulièrement élargi de la base à l'apex, pourvu de soies courtes (moins longues que le diamètre de l'article) et souples, de soies plus longues (aussi longues que le diamètre de l'article) et raides, et de soies longues (plus longues que le diamètre de l'article), souples, dressées ou semi-dressées. Article II longuement cylindrique, brunâtre, de nombreuses soies longues, souples et courbes formant un manchon autour de l'article, quelques soies dressées, raides et bien plus longues que le diamètre de l'article. Articles III et IV brun foncé, longs, grêles, filiformes, des soies courtes, souples, semi-courbées ou courbées et des plus longues (environ 4-5 fois le diamètre de l'article II). Rostre brun foncé.

Pronotum brun foncé ; sillon transversal peu net. Angles antérieurs obtus, mousses, dirigés vers l'avant. Lobe antérieur séparé par un sillon médio-longitudinal net mais peu profond, globuleux et lisse de part et d'autre ; côtes médianes et internes à peine perceptibles sous l'aspect de bandes à peine élevées et peu nettes, sauf tout à fait en arrière seulement. Lobe postérieur bisinué, une dépression médiane s'élargissant en arrière ; bords latéraux très légèrement convexes ; marge postérieure régulièrement arrondie. Angles postérieurs obtus ne dépassent pas les cories latéralement. Des soies dorées plus ou moins longues, nombreuses surtout sur les côtés.

Scutellum brun foncé noirâtre, longuement triangulaire, limité latéralement par deux côtes caréniformes brun clair mousses ; apex brun clair, long, aigu et semi-dressé (45° environ) ; le centre déprimé et strié. Des soies longues surtout sur les marges.

Corie jaunâtre clair ; clavus légèrement rembruni sur la moitié basale ; une bande transversale brun clair assez large sous les angles apicaux des clavus. Membrane grisâtre pâle ; une tache de décoloration latéralement sous l'angle apical de la corie et une au sommet. Marge externe de l'exocorie avec une frange de fines soies blanches courbées en crosse augmentant de taille de la base au sommet. Nervures pourvues de soies dorées dressées. Marge externe des hémélytres légèrement concave depuis l'apex jusqu'à la tache sombre transversale (fig. 11).

Connexivum unicolore.

Pattes antérieures et intermédiaires jaunâtres, les postérieures jaunes, toutes densément hispides (des soies courtes et souples, et des soies beaucoup plus longues et plus ou moins perpendiculaires à l'appendice) (fig. 9) ; pilosité particulièrement dense et longue sur les métatibias (soies environ 5 fois aussi longues que le diamètre de l'appendice). Pelote tibiale longue, plus de 0,4 fois la longueur du protibia (fig. 10).

Face ventrale. Propleures brun foncé ; méso- et métapleures jaunâtres à beiges. Abdomen jaune à beige clair, les sternites très légèrement rembrunis médianement.

Pygophore sub-rectangulaire (fig. 12), marges internes différentiées en apophyse mousse à l'angle postéro interne. Apophyse du pygophore naissant de la marge la plus postérieure du pygophore (fig. 12),

en languette subcarrée, légèrement sinuée médianement (fig. 13) et légèrement recourbée vers le haut (fig. 14), paraissant régulière en vue caudale (fig. 13).

Derivatio nominis. – Du latin *fragilis* (*-is, -e*) : fragile, compte tenu de la sveltesse des individus.

Discussion. – *Reduvius fragilis* n. sp. se distingue de tous les autres *Reduvius* à livrée bicolore par ses pelotes tibiales remarquablement longues (0,40 fois la longueur de la face inférieure du protibia).

***Reduvius pulcher* n. sp.** (fig. 15-23, 49)

http://zoobank.org/37B39BF3-05A0-4BE6-AE9D-D3C12D57864C

Holotype : ♂, "Yemen - W JabaiBura, NEE Al Hudaydah, 200-800 m- 30.x-1.xi, N 14°52 E 43°24', *J. Haladaleg*, 2005 [bl, impr.] / Collectio, Petr Banar, Moravian Museum Brno [bl, impr.] / Holotypus, *Reduvius pulcher* n. sp., P. Moulet det 2018 [rouge, ms]" (NMPC).

Mesures. – Longueur totale : 9,30 ; longueur de la tête 1,15 ; diatone : 0,95 ; longueur des articles antennaires : I = 0,74 ; II = 1,38 ; III = 2,66 ; IV = 1,11 ; longueur du pronotum : 1,26 ; longueur du lobe antérieur du pronotum : 0,61 ; longueur du lobe postérieur du pronotum : 0,74 ; largeur du pronotum aux angles antérieurs : 0,74 ; largeur du pronotum aux angles postérieurs : 1,66 ; longueur du scutellum : 1,08 ; longueur des protibias : 1,59 ; longueur de la pelote tibiale : 0,45 ; longueur des métatibias : 3,51 ; longueur des hémélytres : 5,80. Soies des métatibias 6 fois aussi longues que le diamètre de l'appendice. Pelote tibiale 0,24 fois aussi longue que le protibia.

Description (fig. 49). – Physionomie des *Reduvius* à livrée bicolore mais coloration générale très claire.

Tête brun foncé noirâtre ; sillon médio-longitudinal très peu marqué sauf en arrière où il est creusé en fossette. Joues éclaircies en avant. Yeux peu proéminents latéralement, contigus en dessous ; quelques

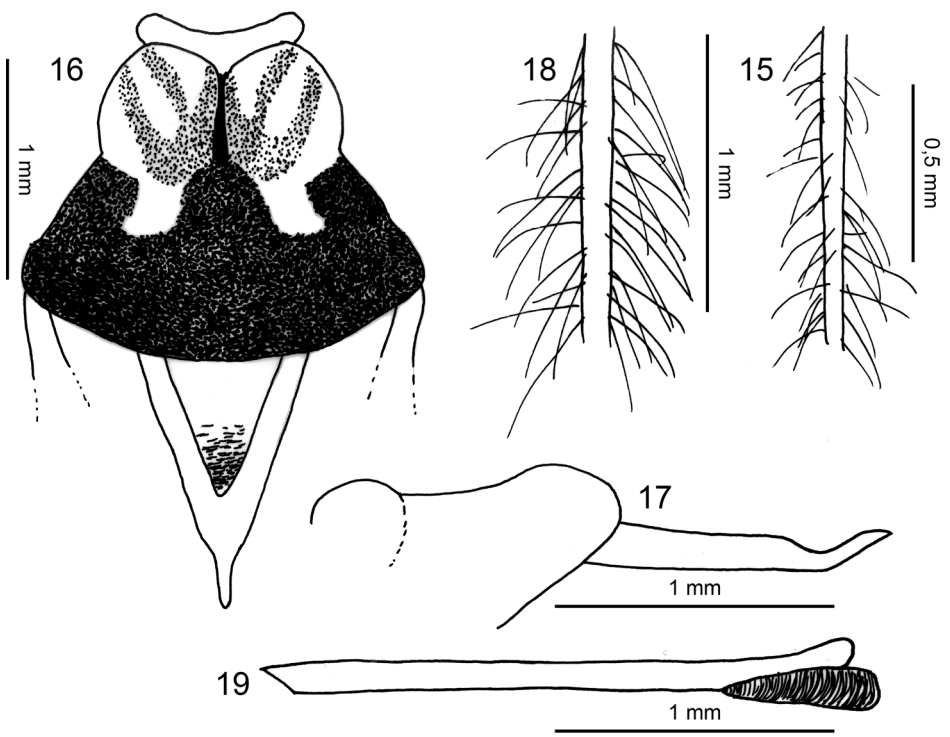

Fig. 15-19. – *Reduvius pulcher* n. sp. – **15**, Article II des antennes. – **16-17**, Pronotum et scutellum : **16**, vue dorsale ; **17**, vue latérale. – **18**, Métatibia, zone médiane. – **19**, Protibia.

soies entre les facettes périphériques. Des soies blondes, longues, souples, particulièrement denses sur le vertex, les côtés des joues et sur le lobe postérieur. Antennes jaune clair à jaunâtres ; article I fusiforme, II longuement cylindrique, les III et IV flagelliformes ; des soies blondes raides, dressées et des soies plus courtes et couchées, particulièrement nombreuses sur les III et IV ; soies les plus longues environ 5 fois comme le diamètre de l'article antennaire II (fig. 15). Rostre beige clair.

Pronotum à lobe antérieur et carènes submédianes jaune blanchâtre (fig. 16) ; lobe postérieur brun clair (sauf les carènes submédianes du lobe antérieur). Marge antérieure large et bien visible ; angles latéraux globuleux, mousses, non prolongés vers l'avant ni latéralement. Sillon transversal très peu visible. Lobe antérieur divisé par un sillon net mais peu profond, globuleux et lisse de part et d'autre ; trois carènes très effacées et peu visibles sur chaque gibbosité. Disque du lobe postérieur très faiblement bisinué, zone centrale à peu près plane. Marge postérieure largement convexe vers l'arrière. Angles postérieurs complètement effacés, arrondis, ne dépassant pas les cories latéralement. Tout le pronotum couvert de soies dorées longues ou très longues, molles, érigées et plus ou moins courbées.

Scutellum beige clair en triangle long ; marges latérales modifiées en fines carènes ; disque peu déprimé sauf vers son sommet, lisse à la base, quelques stries marquées à son apex. Sommet du scutellum courtement effilé, jaunâtre, dressé à 45° environ (fig. 17). Des soies dorées, fines, souples érigées et courtes sauf sur l'apex où elles sont plus longues.

Cories jaunâtre pâle. Clavus à peine rembruni sur sa marge interne près du scutellum (clair en deçà). Une bande transversale brunâtre clair sous le sommet du clavus. Une tache bistre sur la moitié apicale de la membrane (au-delà de l'angle externe de la corie), son apex blanchâtre. Nervures, marge latérale et apex de la corie pourvus de longues soies blondes, souples, érigées ou semi-érigées (particulièrement celles de la marge externe).

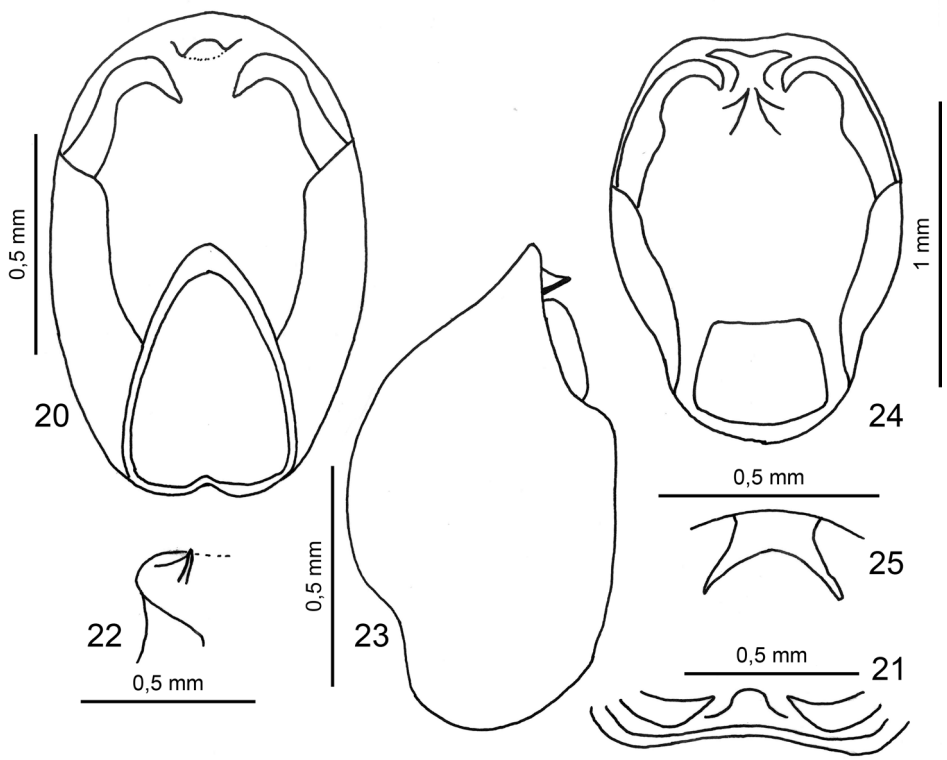

Fig. 20-25. – *Reduvius spp*. – **20-23**, *R. pulcher* n. sp. : **20**, pygophore, vue dorsale ; **21-22**, apophyse du pygophore ; **23**, pygophore, vue latérale. – **24-25**, *Reduvius* inédit de Socotra (Moulet, *in prep.*) : **24**, pygophore, vue dorsale ; **25**, apophyse du pygophore.

Connexivum de la couleur générale.

Pattes jaune pâle densément pourvues de soies blanches et souples : des soies longues et perpendiculaires (ou presque) à l'axe de l'appendice, et des soies plus courtes, semi-couchées (fig. 18). Face intérieure des profémurs sans armature. Pelote tibiale 0,24 fois comme le protibia (fig. 19). Tarses de trois articles, le basal le plus court.

Face ventrale jaune pâle à jaunâtre. Méso- et métapleures beiges à brun clair.

Pygophore ovale (fig. 20), jaune pâle ; apophyse du bord postérieur en courte languette courbée vers le haut (fig. 20 vue dorsale), triangulaire à apex mousse (fig. 20-21) ou nettement aigu (fig. 22-23 vue latérale et de trois quarts). Apex des paramères brièvement assombri et acuminé.

Femelle inconnue.

Derivatio nominis. – Du latin *pulcher* (*-chra*, *-chrum*), joli.

Discussion. – La coloration jaune blanchâtre et brun clair du pronotum de *R. pulcher* n. sp. est rare chez les *Reduvius* bicolores, seulement partagée avec une espèce inédite de Socotra (Moulet, *in prep.)* ; mais chez celle-ci, le lobe postérieur est nettement foncé (brun foncé à noir) alors qu'ici il est bien plus clair ; les deux espèces se différencient aussi par leur pilosité (beaucoup plus abondante chez *R. pulcher* n. sp.) et par l'apophyse du pygophore (en languette bifide chez l'espèce inédite (fig. 24-25).

Reduvius varipes Linnavuori, 1964 (forme brachyptère) (fig. 26-37, 50, 54)

Matériel examiné. – Maroc, Marrakech, Khemis-Majdan, 22.V.2008, *C. Coquempot rec*. (coll. Streito).

Caractères diagnostiques. – Longueur : 12 mm. Cette forme brachyptère (fig. 50), non encore mentionnée, se distingue de la forme macroptère (fig. 54) par ses antennes beige jaunâtre (*vs* jaunâtres) ; le pronotum noir sauf la moitié postérieure du lobe postérieur brun clair (*vs* brun chocolat) ; le lobe antérieur du pronotum plus long que le postérieur (fig. 26) (*vs* lobes subégaux) ; le disque du scutellum déprimé (fig. 27) et très fortement ridé en chevron (fig. 28) (*vs* ridé mais non fortement) , les carènes latérales peu élevées, l'apex dressé perpendiculairement à l'axe (*vs* dressé mais non perpendiculaire) ; les hémélytres très brefs, atteignant le milieu du tergite II (fig. 27), jaune blanchâtre avec une grande tache noirâtre apicale et l'extrême apex blanc (*vs* hémélytres entiers) ; le clavus entièrement brun foncé (*vs* marge externe étroitement claire) ; les profémurs noirs sauf l'apex (*vs* jaunâtres) ; les protibias avec un large anneau brun médian, rembrunis à l'apex ; les mésofémurs avec un large anneau noir médian (*vs* pas d'anneau) ; les mésotibias avec un vague anneau sombre médian ; les métafémurs noirs sur la moitié apicale sauf l'extrême apex (*vs* non noirs) ; les métatibias avec un vague anneau sombre médian ; la face inférieure des protibias armée d'une ligne de fortes et courtes dents (fig. 29, 30) (*vs* dents fines) ; les pelotes tibiales courtes (0,10-0,11 fois la longueur de l'appendice) ; le dos noir (*vs* légèrement éclairci latéralement) ; le connexivum noir sur la moitié apicale, jaune sur la basale (*vs* non noir, brun foncé) ; la face ventrale entièrement brun noirâtre à noir (*vs* brun chocolat) sauf les coxae et la carène médio-longitudinale éclaircie en avant et en arrière.

Remarque. – Le pygophore des deux formes de *R. varipes* Linnavuori est tout à fait particulier parmi les *Reduvius* bicolores. Oblong, sa face ventrale régulièrement courbe est différenciée à l'apex en capuchon globuleux dépassant nettement, en arrière, la marge postérieure (fig. 31-34) ; l'extrême apex de l'apophyse du pygophore, digité, est parfois recourbé en crochet bref (fig. 31, 36) ; le paramère (fig. 37) n'est pas aussi courbé et semi-circulaire que décrit par LINNAVUORI (1964) mais plutôt en crochet perpendiculaire élargi depuis la courbure jusqu'au sommet, apex très acuminé en bec court et aigu.

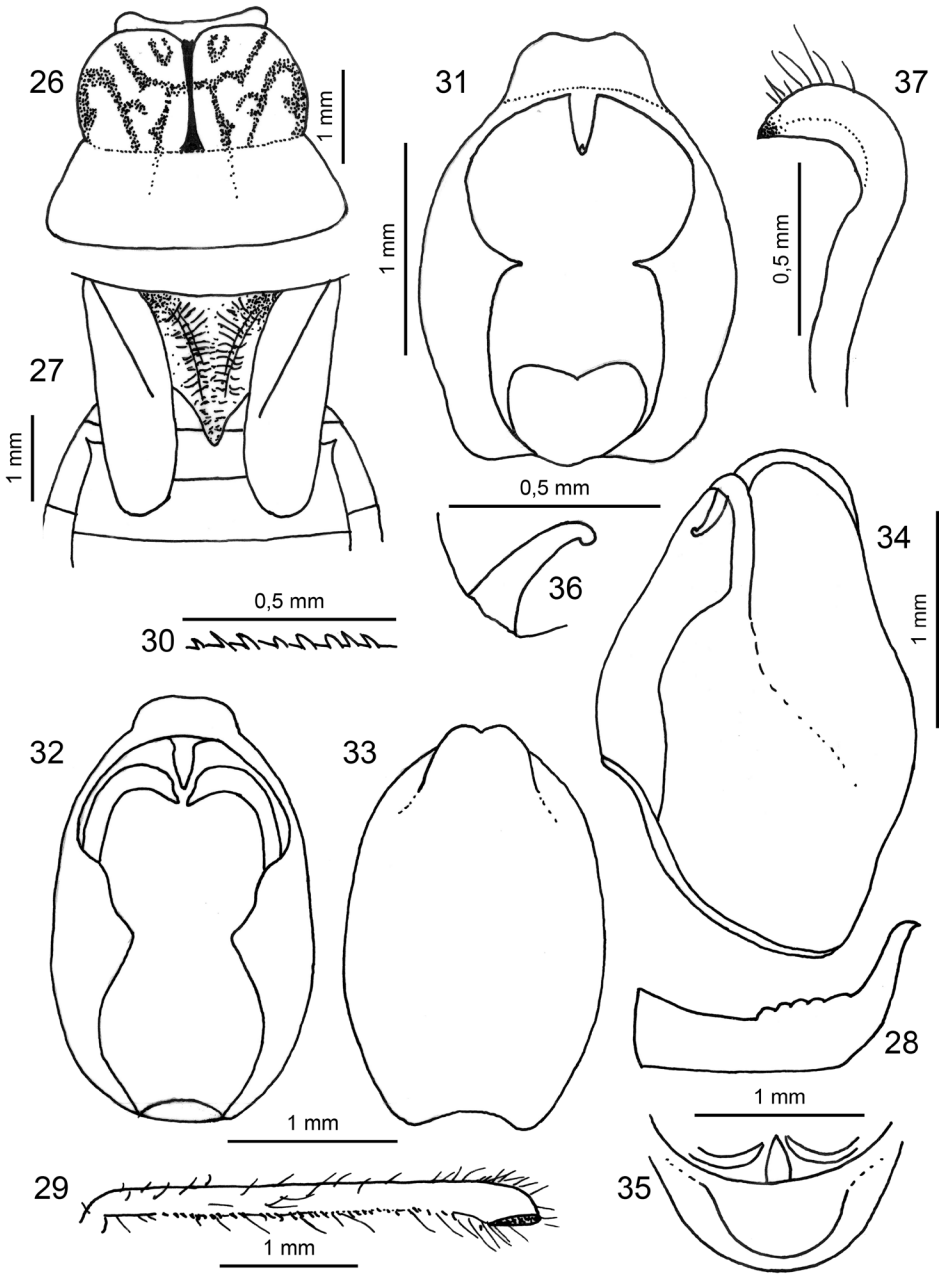

Fig. 26-37. – *Reduvius varipes* Linnavuori, forme brachyptère. – **26**, Pronotum, vue dorsale. – **27**, Scutellum et base de l'abdomen, vue dorsale. – **28**, Scutellum, vue latérale. – **29**, Protibia. – **30**, Dents de la face inférieure du protibia. – **31**, Pygophore de l'holotype (individu macroptère). – **32-34**, Pygophore : **32**, vue dorsale ; **33**, vue ventrale ; **34**, vue latérale. – **35-36**, Apophyse du pygophore : **35**, vue caudale ; **36**, vue de trois quarts latérale. – **37**, Paramère.

Reduvius insularis Linnavuori, 1964 (fig. 43-45, 53)

L'étude du type de cette espèce me permet de compléter et préciser la description originale, très brève.

Matériel-type. – HOLOTYPE : ♂, "Bahrein" (NMWC).

Mesures. – Longueur totale : 11,9 ; longueur de la tête : 1,66 ; diatone : 1,40 ; longueur des articles antennaires : I = 1,01 ; II = 2,32 ; III = 4,04 ; IV = 2,9 ; longueur du pronotum : 2,26 ; largeur du pronotum aux angles antérieurs : 1,07 ; largeur du pronotum aux angles postérieurs : 2,9 : longueur du scutellum : 1,88 ; longueur des protibias : 2,82 ; longueur de la pelote tibiale : 0,52 ; longueur des métatibias : 5,9 ; longueur des hémélytres : 9,66. Soies des métatibias 2 fois aussi longues que le diamètre de l'appendice ; pelote tibiale 0,21 fois aussi longue que le protibia.

Redescription de l'holotype (fig. 53). – *Tête* noire, extrême apex du clypéus légèrement éclairci ; sillon interoculaire net peu profond, sillon transverse plus profond. Lobe postérieur un peu plus haut que l'antérieur. Joues pourvues en avant de quelques soies jaunes et raides. Lobe postérieur en arrière des yeux avec quelques rares soies brun foncé. Yeux globuleux proéminents latéralement, non contigus en dessous. Antennes jaune blanchâtre ; article I assez long, fusiforme, le II cylindrique ou à peine rétréci de la base au sommet, les III et IV filiformes ; antennes garnies de longues soies jaunes, souples et perpendiculaires à l'axe de l'article, 3 fois aussi longues que le diamètre de l'article II. Rostre brun foncé.

Pronotum brun foncé très légèrement rougeâtre. Lobe antérieur très finement chagriné, bandes décoratives ponctuées brillantes, les internes ne dépassant pas le sillon transversal. Angles antérieurs arrondis très finement denticulés en avant. Sillon médio-longitudinal du lobe antérieur net mais peu profond. Sillon transversal tout à fait superficiel. Lobe postérieur très finement ponctué, faiblement ridé transversalement sur le disque. Angles postérieurs arrondis ne dépassant pas la corie latéralement.

Scutellum brun noirâtre, disque à peine strié transversalement ; côtés et côtes marginales pourvus de minuscules tubercules noirs arrondis au sommet ; apex du scutellum légèrement éclairci assez bref et variablement relevé.

Pattes jaunes à jaunâtres à pilosité jaune dorée, courte ou très courte, souple, semi-dressée, aussi quelque rares soies beaucoup plus longues, raides et sub-érigées, 1,66 fois aussi longues que le diamètre du métatibia. Profémurs armés en dessous de dents noirâtres très courtes et aiguës dispersées sans ordre mais ménageant une bande inerme médio-longitudinale. Face inférieure des protibias pourvue de courtes dentes aiguës disposées en deux lignes. Métafémurs ornés d'un large anneau brun tout à fait apical. Pelote tibiale 0,12 fois la longueur du protibia. Articles I et II des métatarses égaux.

Cories colorées comme chez les autres représentants du groupe ; membrane bien plus longue que l'abdomen.

Connexivum jaune uniforme.

Face ventrale. Abdomen sombre. Pleures thoraciques noirâtres sauf les épicoxae jaunes.

Pygophore ovoïde, rétréci basalement (fig. 43), face ventrale largement concave dans le tiers apical ; face dorsale très distinctement sinueuse (fig. 45) ; apophyse large à la base, légèrement dirigée vers le haut et, vue de face, son extrême apex recourbé en crochet court (très rarement sans crochet) (fig. 44). Paramères en crochet assez court, sommet un peu élargi, extrême apex en bec court dirigé vers le bas.

Remarque. – Cette espèce est proche de *Reduvius osiris* Kirkaldy, 1909, et de *R. tabidus* Klug, 1830, toutes ayant une apophyse apicale aciculée (fig. 38, 41). Toutefois, la forme bien différente de leurs pygophores (fig. 39-40) permet de les distinguer.

Reduvius osiris Kirkaldy, 1909 (fig. 38-39, 52, 55)

Reduvius dorsalis Stål, 1855 (nec *Reduvius dorsalis* Fabricius, 1803).
Reduvius osiris Kirkaldy, 1909 : 32.
Syn. *Reduvius infirmus* Miller, 1956 : 65, **n. syn.** LINNAVUORI, 1974 : 128 (syn.)
Syn. *Reduvius thesigeri* Miller, 1956 : 66, **n. syn.**

Matériel-type. – *R. dorsalis* Stål, 1855. LECTOTYPE (désigné par REUTER, 1913) : ♂, "Nubia" (NHRS) [examiné sur http://www2.nrm.se/en/het_nrm/d/reduvius_dorsalis.html].

R. infirmus Miller, 1956. HOLOTYPE (fig. 55) : ♂, "Type [ronde cerclée rouge, impr] / British Sudan, Kordofan Province, Nahad, 26.iii-1921, *Admiral H. Lynes* [bl/impr/ms] / Brit. Mus., 1922-262 [bl, impr] / *Reduvius infirmus* sp. n., det. N.C.E. Miller 1950 [bl, impr/ms] / BMNH €, 1688011 [bl, impr] / *Reduvius thesigeri* Miller 1955, P. Moulet det. 2019 [bl, impr/ms]" (NHM). Antennes, patte antérieure gauche, protibia droit, patte postérieure droite

et mésotarses gauches absents. Paratype : 1 ♂, “Paratype [ronde cerclée jaune, impr] / Sudan Govt., locality, *Bagnold Expt*., 13-11-32, sandstone & sand [bl, impr/ms] / Ent. Coll., C11609 [bl, impr/ms] / ♂ [bl, impr] / *Reduvius infirmus* sp. n., det. N.C.E. Miller. 1950 [bl, impr/ms] / *Reduvius thesigeri* Miller 1955, P. Moulet det. 2019 [bl, impr/ms]” (NHM). Antennes, méso- et métatarses gauches absents.

R. thesigeri Miller, 1956. Holotype (fig. 52) : ♂, “Type [ronde cerclée rouge, impr.] / Saudi Arabia, Oman, Buraimi, April 1948, *W. Thesiger*, B.M. 1948-290 [bl, impr] / *Reduvius thesigeri* sp. n., det. N.C.E. Miller 1952 [bl., impr/ms] / *Reduvius jakovlevi*, Reuter 1882, Det. W. Cai 2015 [bl, impr/ms] / BMNH (E), 1688014 [bl, impr] / *Reduvius osiris* Kirk 1909, P. Moulet det. 2019 [bl, impr/ms]” (NHM). Antennes, pattes intermédiaire et postérieure droites, protibia droit, mésotibia gauche et tous les tarses absents.

Mesures. – Respectivement *R. thesigeri* holotype, *R. infirmus* holotype et *R. infirmus* paratype. Longueur totale : 12,32 – 13,02 – 12,6. Diatone : 1,37 – 1,30 – 1,30. Longueur du pronotum : 2,17 – 2,03 – 2,06. Longueur du lobe antérieur du pronotum : 1,08 – 0,91 – non mesuré. Longueur du lobe postérieur

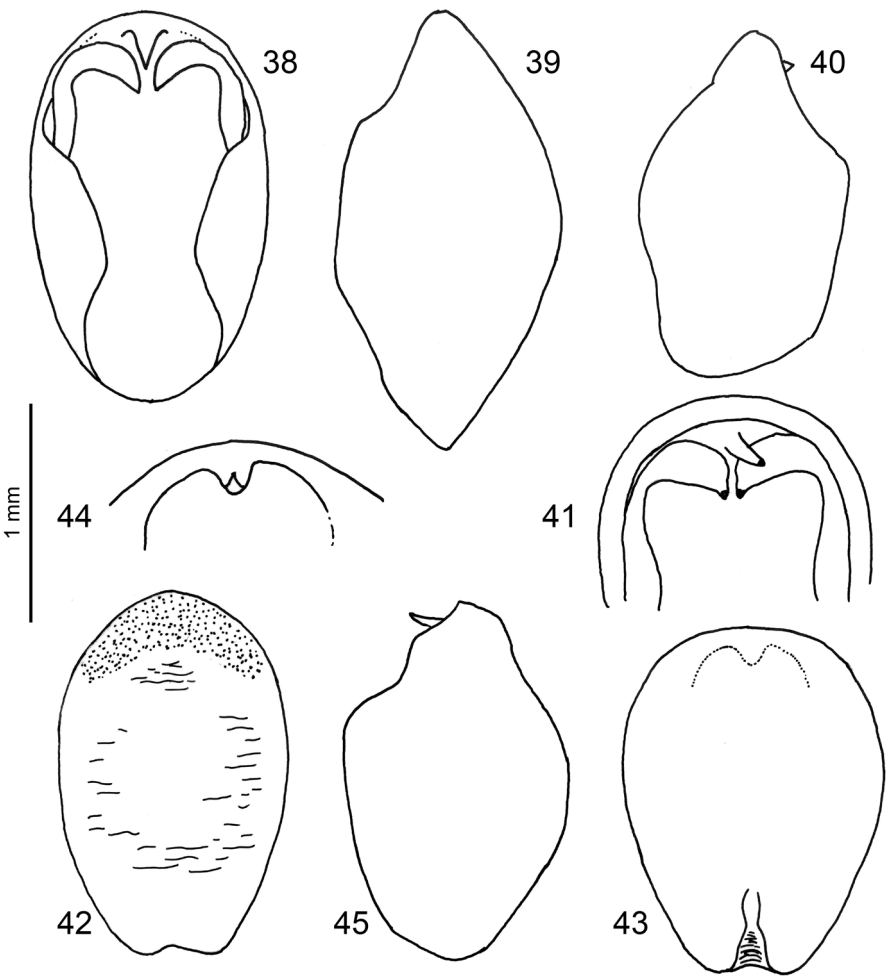

Fig. 38-45. – *Reduvius spp*. – **38-39**, *R. thesigeri* Miller, pygophore : **38**, vue dorsale ; **39**, vue latérale. – **40-42**, *R. tabidus* Klug : **40**, pygophore, vue latérale ; **41**, apex du pygophore et apophyse, vue dorsale ; **42**, pygophore, vue ventrale. – **43-45**, *R. insularis* Linnavuori, pygophore : **43**, vue ventrale ; **44**, apex avec apophyse ; **45**, vue latérale.

du pronotum : 1,5 – 1,11 – non mesuré. Largeur du pronotum aux angles antérieurs : 0,87 – 0,98 – 1,01. Largeur du pronotum aux angles postérieurs : 2,61 – 2,46 – 2,46. Longueur du scutellum : 1,8 – 1,5 – non mesuré. Longueur du protibia : 3,2 – absent – absent. Longueur des hémélytres : 10,37 – 9,25 – 9,0. Longueur des métatibias : 5,73 – 5,73 – 5,73.

***Redescription de l'holotype de* R. thesigeri**. – *Tête* globuleuse, noire ; joues assez brèves aussi longues que le clypéus en avant, sillon médio-longitudinal réduit à une fossette postérieure, sillon transversal très net ; lobe postérieur à peine plus élevé que l'antérieur, celui-ci très bref ; ocelles finement cerclées d'un anneau clair, espace inter-ocellaire environ deux fois plus large que le diamètre des ocelles ; yeux assez proéminents latéralement, contigus en dessous. Rostre brun foncé.

Pronotum brun très foncé noirâtre. Sillon médio-longitudinal très net, s'approfondissant d'avant en arrière ; sillon transversal net mais superficiel sauf médianement. Lobe antérieur chagriné pourvu de

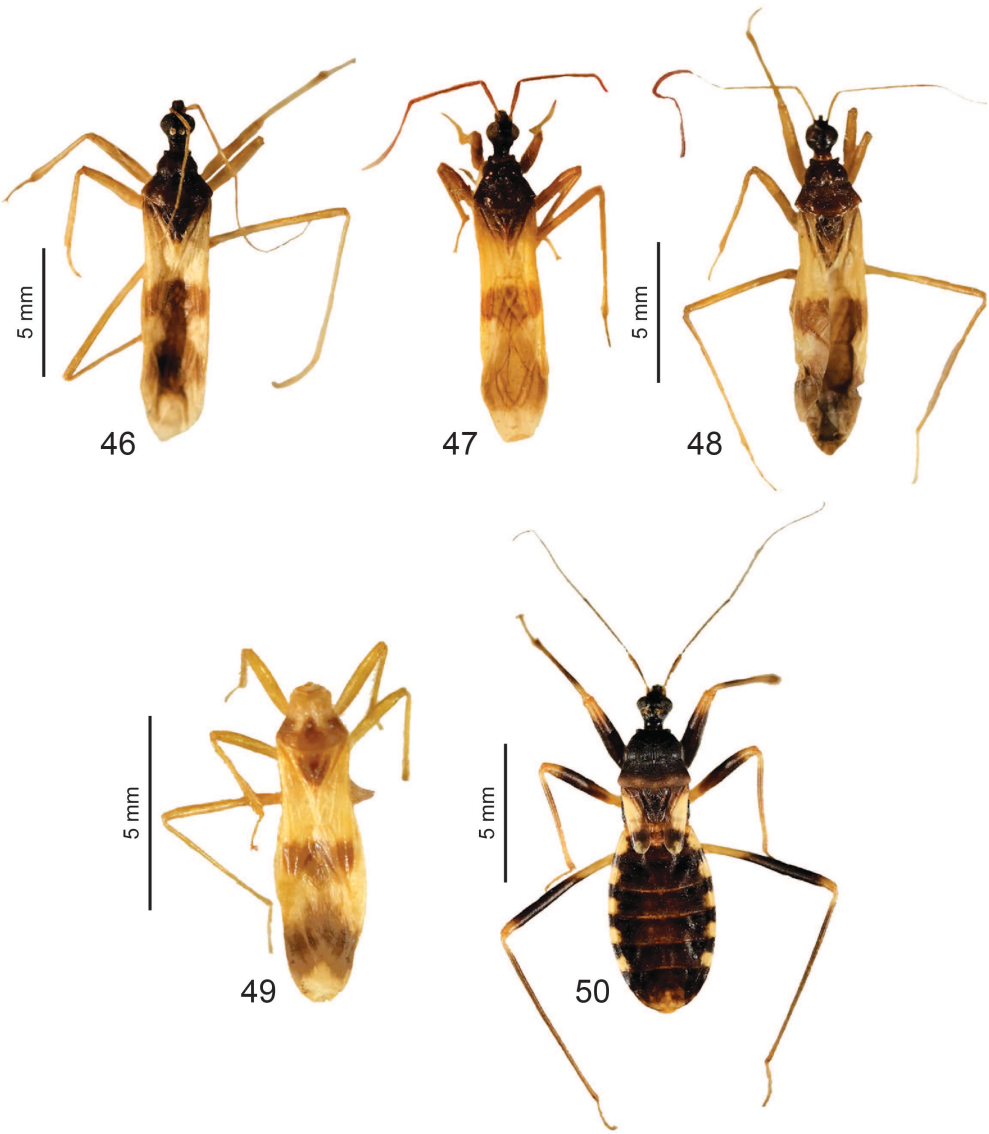

Fig. 46-50. – *Reduvius spp*. – **46**, *R. amabilis* n. sp., holotype. – **47-48**, *R. fragilis* n. sp. : **47**, holotype ; **48**, allotype. – **49**, *R. pulcher* n. sp., holotype. – **50**, *R. varipes* Linnavuori, forme brachyptère. *(Clichés C. Triat, Muséum Requien)*.

trois bandes finement rugueuses de chaque côté ; lobe postérieur finement granuleux, deux faibles côtes sub-médianes s'affaiblissant en arrière. Angles antérieurs à peine marqués, arrondis au sommet. Angles postérieurs largement arrondis ne dépassant pas ou à peine les cories latéralement.

Scutellum noirâtre, carènes latérales mousses, disque déprimé, strié, granulé ; apex manquant.

Cories colorées comme chez les autres espèces du groupe.

Connexivum clair.

Pattes beige jaunâtre. Profémurs en dessous avec des soies spiniformes de longueur variable et des soies plus fines et plus souples beaucoup plus longues. Métatibias très légèrement et progressivement

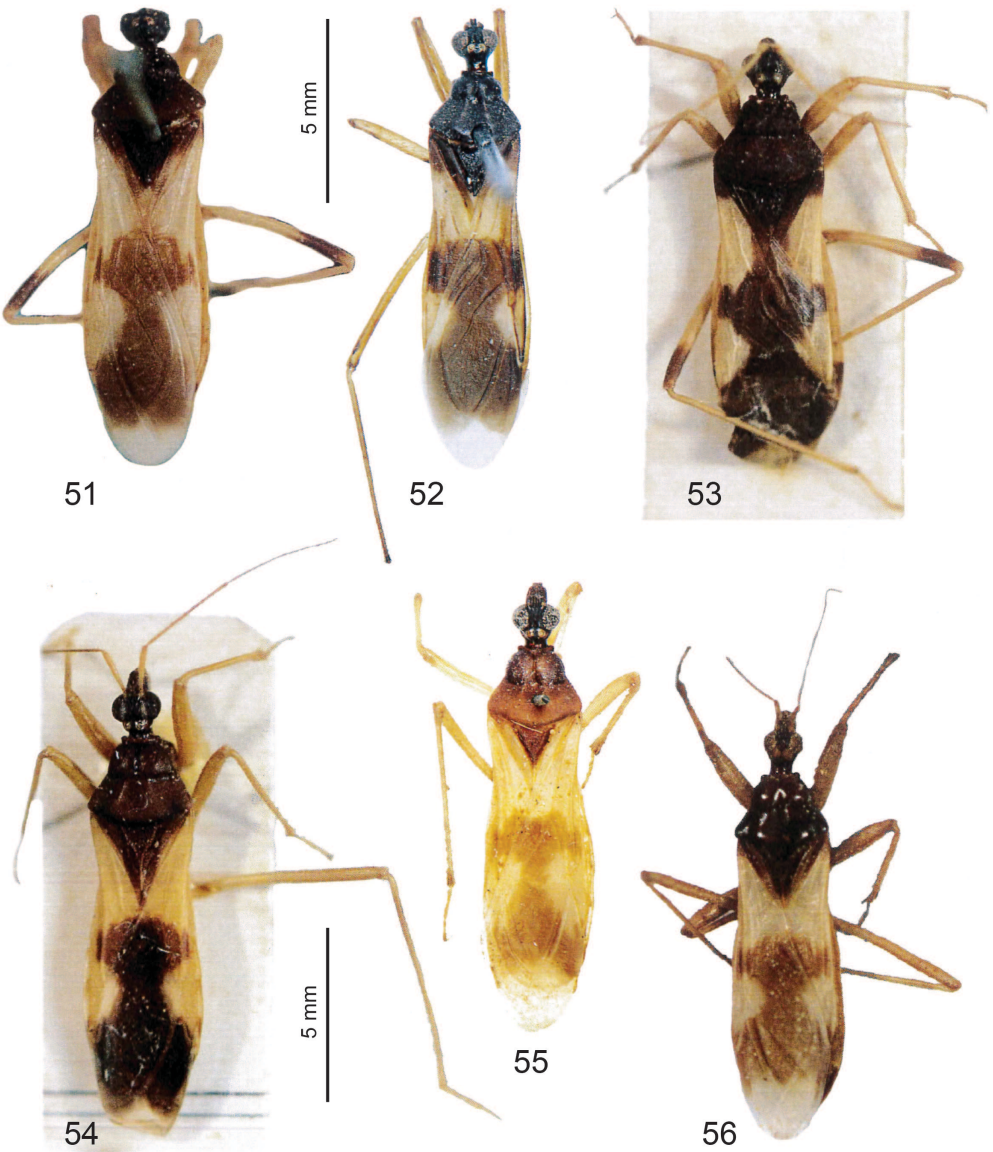

Fig. 51-56. – *Reduvius spp*. – **51**, *R. tabidus* Klug, lectotype. – **52**, *R. thesigeri* Miller, holotype. – **53**, *R. insularis* Linnavuori, holotype. – **54**, *R. varipes* Linnavuori, holotype. – **55**, *R. infirmus* Miller, holotype. – **56**, *R. pallipes* Klug, lectotype. *(Clichés C. Triat, Museum Requien ; sauf fig. 52, 55: © The Trustees of the Natural History Museum, photos Ken Merrifield).*

assombris à l'apex ; pourvus de longues soies fines, raides et semi-dressées, assez peu nombreuses, les plus longues 1,5-2 fois comme le diamètre de l'appendice.

Face ventrale. Pleures et prosternum brun très foncé à noirâtre, métasternum beige jaunâtre. Tergites et sternites beige jaunâtre, assombris à l'extrémité postérieure.

Pygophore brun verdâtre bistre, oblong, régulièrement convexe ventralement (fig. 39) ; apophyse assez large à la base, rectiligne ou très légèrement courbée et dirigée presque perpendiculairement à l'axe du pygophore (fig. 38).

Remarques. – L'holotype et le paratype de *R. infirmus* s'accordent tout à fait avec cette description sauf qu'ils sont plus clairs, notamment les pronotum et scutellum de l'holotype ou les lobes postérieurs du pronotum et du scutellum du paratype. Le dessin sombre de leurs hémélytres est plus pâle que chez l'holotype de *R. thesigeri*.

L'étude des types de *Reduvius thesigeri* et *R. infirmus*, et notamment l'examen des pygophores de ces espèces (fig. 38-39), montrent qu'il s'agit du même taxon.

KIRKALDY (1909), constatant qu'il y avait homonymie entre *R. dorsalis* Stål, 1855, et *R. dorsalis* Stål, 1874, créait pour le premier le nom nouveau de *R. osiris*. *R. dorsalis* Stål, 1874 est, quant à lui, synonyme de *R. dorsalis* Fabricius, 1803, une espèce d'Extrême-Orient (MALDONADO CAPRILES, 1990). LINNAVUORI (1974) établissait la synonymie de *R. infirmus* avec *R. dorsalis* (Stål, 1855). Cette action n'a pas été remise en cause, notamment par KERZHNER (1990), mais a été ignorée par MALDONADO CAPRILES (1990).

On peut donc établir la synonymie *Reduvius thesigeri* Miller, 1956, n. syn. de *Reduvius osiris* Kirkaldy, 1909.

REMERCIEMENTS. – Il m'est très agréable de remercier Mmes D. Pluot-Sigwalt (Paris) et M. Toth (Budapest), et MM. P. Ducamp (Sainte-Colombe-en-Bruilhois), J. Deckert (Berlin), H. Ghate (Pune), P. Kment (Prague), Ph. Magnien (Paris), A. Matocq (Paris), J.-C. Streito (Montpellier), M. Webb (Londres), M. Wilson (Cardiff), la rédaction du *Bulletin* et les correcteurs anonymes, sans l'aide desquels cette étude n'aurait pu être conduite. Enfin, une pensée toute particulière pour R. Linnavuori.

AUTEURS CITÉS

KERZHNER I. M., 1990. – Nomenclatorial and bibliographic corrections to J. Maldonado Capriles (1990) "Systematic Catalogue of the Reduviidae of the World (Insecta, Heteroptera)". *Zoosystematica Rossica,* **1** : 46-60.

KIRKALDY G. W., 1909. – Hemiptera new and old I. *Canadian Entomologist,* **41** : 30-32. https://doi.org/10.4039/Ent4130-1

LINNAVUORI R., 1964. – Hemiptera of Egypt, with remarks on some species of the adjacent Eremian region. *Annales Zoologici Fennici,* **1** : 306-356.

LINNAVUORI R., 1974. – Hemiptera of the Sudan, with remarks on some species of the adjacent countries. 3. Families Cryptostemmatidae, Cimicidae, Polyctenidae, Joppeicidae, Reduviidae, Pachynomidae, Nabidae, Leptopodidae, Saldidae, Henicocephalidae and Berytidae. *Annales Entomologici Fennici,* **40** : 116-138.

MALDONADO CAPRILES J., 1990. – Systematic catalogue of the Reduviidae of the World (Insecta, Heteroptera). *Caribbean Journal of Sciences, Special Edition,* x + 694 p.

MILLER N. C. E., 1956. – New species of *Reduvius* (Hemiptera, Reduviidae, Reduviinae). *Acta entomologica Musei Nationalis Pragae,* **30** [1955] : 61-120.

PUTSHKOV P. V. & MOULET P., 2009. – Hémiptères Reduviidae d'Europe occidentale. *Faune de France,* **92** : 668 p., 24 pl.

REUTER O. M., 1913. – Ausfürliche Beschreibungen einiger paläarktischen Hemipteren. *Öfversigt af Finska Vetenskapssocietetens Förhandlingar,* **55** : 1-111.